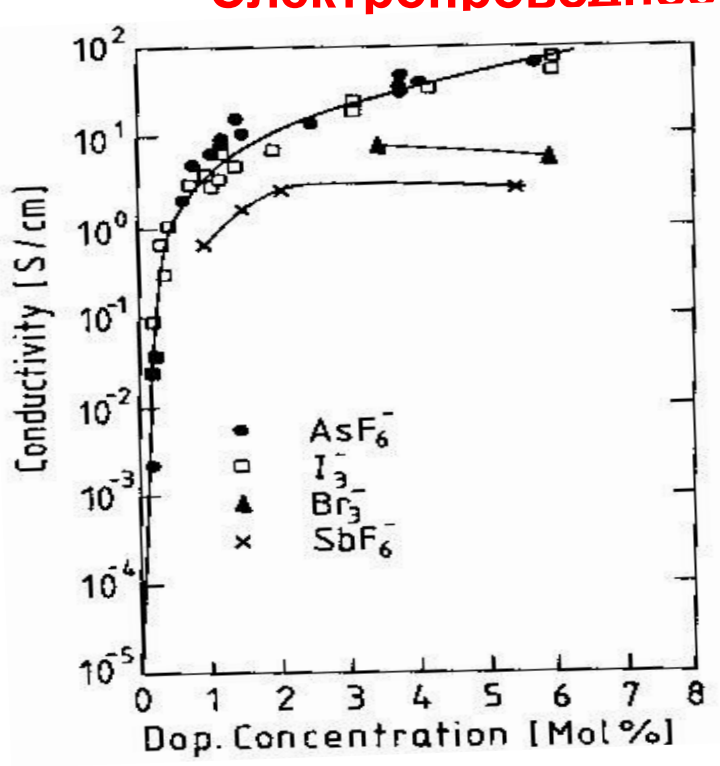
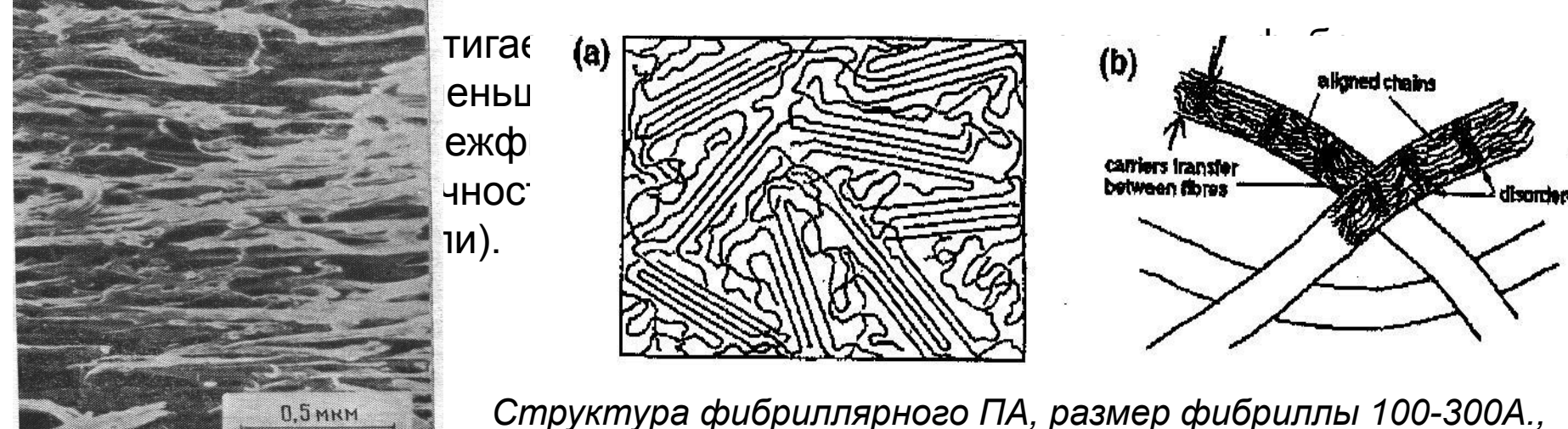
Электропроводность сильно легированных полимеров



заметная проводимость в полимерах появляется при достаточно высоком уровне легирования (1-10 мол%), что на несколько порядков выше, чем в обычных полупроводниках. примесь при этом добавляет пи электроны в цепь, не разрушая ее, т.к. сама примесь остается за пределами цепи. Самый простой способ легирования — выдержать полимер в парах примеси.

Окислителями -акцепторами являются (Cl, Br, I, FeCl3, AsF5, PF6). Восстановителями- донорами являются (Li, K, Na, Ca). Первоначальное легирование донорами увеличивало проводимость до 100 (Омсм)-1 акцепторами до 1000 (Омсм)-1

мы рассматривали проводимость совершенной одномерной цепи. На самом деле в каждой цепи существуют дефекты (беспорядок) и существует также взаимодействие между цепями (трехмерное связывание). Необходимо понимать, что любой дефект в одномерной цепи полностью локализует проводящий носитель, и единственный способ его обойти — это перескочить на другую полимерную цепь — такие прыжки называются межцепочечными прыжками. Это значит, что взаимное расположение цепей также влияет на величину проводимости. Так, проводимость легированного ПА возрастала на 3 порядка в течение последних 10 лет, что связано с улучшением технологии приготовления полимерных пленок.



Улучшение технологии связано с увеличением степени вытягивания легированного $\Pi A - \frac{I}{I_0}$, при этом проводимость параллельная направлению вытягивания пропорциональна квадрату степени вытягивания $\sigma_{II} \approx \sigma_0 (\frac{I}{I_0})^2$

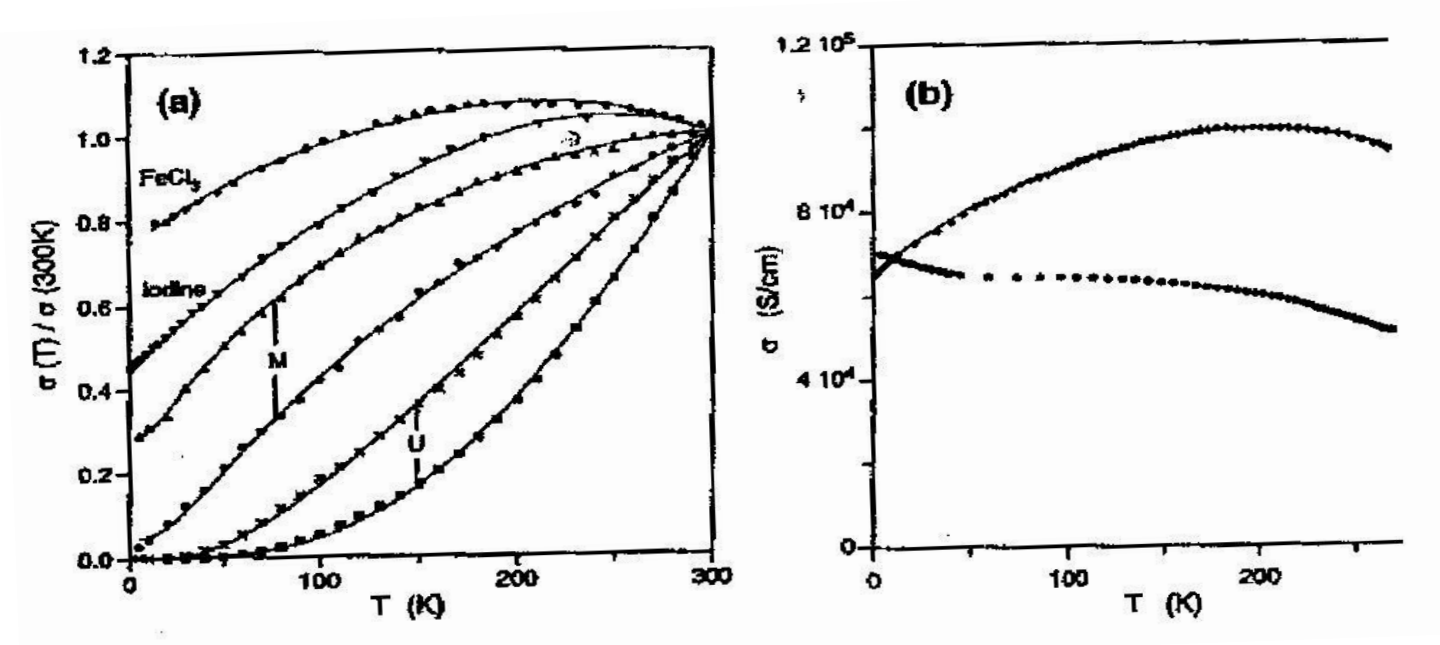
вытягивании достигается ориентированное расположение фибрилл и, при соответственно, уменьшение расстояния между ними. Что облегчает межцепочечный (межфибриллярный) перенос. При этом также увеличивается и прочность материала (например, вытянутый полиэтилен имеет прочность стали).

Дефекты в полимерной ценпи (типа sp³ дефектов или поворотов по оси цепи) полностью локализуют транспорт, нарушая пи – перекрывание. В этом случае носители движутся с помощью туннельных перескоков с цепи на цепь. Чтобы такие перескоки происходили, нужен большой интеграл перекрытия между цепями. Степень трехмерного взаимодействия между цепями можно характеризовать с помощью межцепочечного интеграла перекрытия $t_{3d} \sim (1/\tau 3d)1/2$, где $_{\tau 3d} = -$ время перескока между цепями. При этом $t_0 \sim (1/\tau_0)1/2$ — интеграл перекрытия внутри цепи обратно пропорционален времени перескоков внутри цепи, L — длина цепи без дефектов. Тогда для параллельного расположения цепей условием когерентного трехмерного транспорта будет следующее: время движения по цепи L/v ($v = at_0/h$ – скорость движения по цепи) должно быть больше, чем время когерентного перехода на соседнюю цепь – h/t_{3d} . Это условие соответствует неравентсву:

$$\frac{L}{a} \ge \frac{t_0}{t_{3d}} \ge \frac{3_{ev}}{0,1_{ev}} \ge 30$$

Т.е. длина цепи без дефектов должна составлять 30 постоянных решетки. Для беспорядочного расположения цепей это условие становится еще более жестким: L/a>>(t₀/t_{3d})²>>900. Таким образом, упорядоченный, бездефектный ПА с близким расположением цепей может являться анизотропным трехмерным металлом с проводимостью близкой к теоретической.

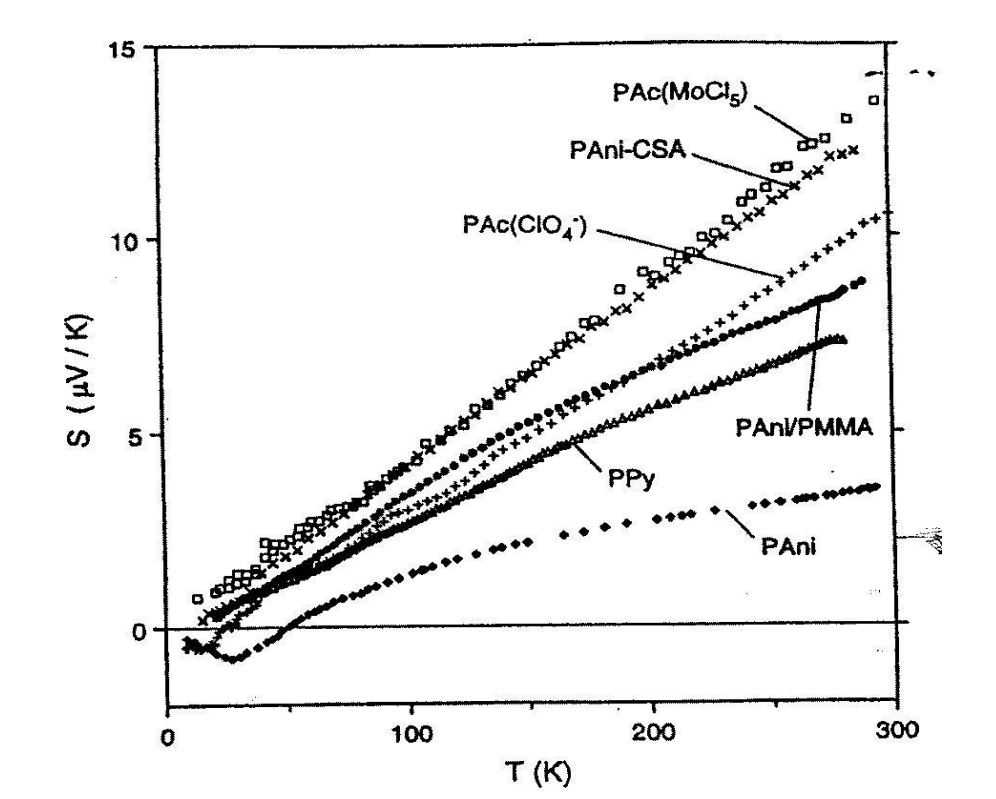
В подимерах с σ < <10² (Ом·см)-1 условие для когерентного транспорта не Температурные зависимости проводимости легированного ПА (Рис.а) выполняется и наблюдается квазиодномерная прыжковая проводимость с демонстрирующие переход к квазиметаллической проводимости при переменной длиной прыжка. Температурная зависимость демонстрирует высокой концентрации примеси (Рис.б) типично изоляторное поведение σ→0 при Т→0. Однако, в полимерах с большой степенью вытягивания и величиной проводимости σ_{300к} ~10⁴ (Ом·см)-1 наблюдается квазиметаллическое поведение проводимости σ→Const при Т→0.



Температурные зависимости проводимости легированного ПА (Рис.а) демонстрирующие переход к квазиметаллической проводимости при высокой концентрации примеси (Рис.б)

но же происходит в таких хорошо проводящих полимерах и каков механизма, проводимости. При таких высоких концентрациях запрещенная зона проводимости? При таких высоких концентрациях запрещенная зона определяемый плотностью электронных состояний на поверхности ферми. Замывается (волновые функции солитонов, поляронов перекрываются) и происходит переход получие функции солитонов, поляронов перекрываются) и происходит переход получие происходит переход получие происходит переход получие происход происход происход происход происход происход переход свидетельствует изменение температурного хода термоэдс и магнитной восприимчивости с ростом легирования. В магнитной восприимчивости начинает преобладать температурно независимый вклад восприимчивости \mathcal{L}_{p} \mathcal{L}_{f}

(парамагнитный вклад Ферми частиц -газа свободных электронов). Вклад восприимчивости Кюри , связанный с локализованными спинами отсутствует



$$\chi_K = \mu_R^2 N / kT$$

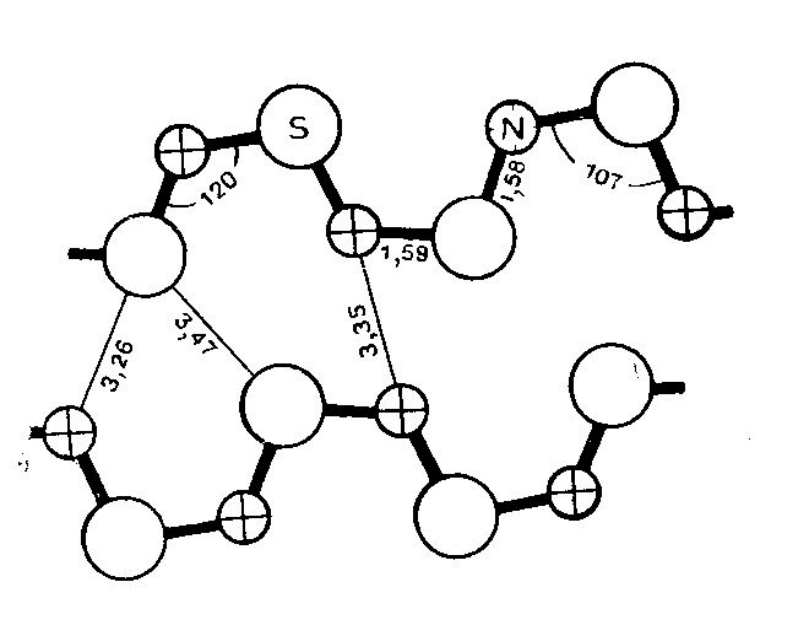
В термоэдс наблюдается линейно зависящий от температуры вклад, определяемый плотностью электронных состояний на поверхности Ферми. Для прыжковой проводимости термоэдс меняется с температурой более слабо - как корень от Т.

Какова же величина максимальной проводимости в квазиодномерном металле? Поскольку в одномерном металле большой импульс Ферми (порядка вектора обратной решетки), а единственный канал рассеяния - это рассеяние назад (что соответствует максимально большой передаче импульса), то ответственные за рассеяние фононы должны обладать предельными импульсами и соответственно энергиями (порядка дебаевской- $h\varpi_d \sim 0,12$ эВ), $\tau \sim c \; exp(h\omega/kT)$. проводимость $\sigma \sim ne^2 \tau / m_e$ будет выше, чем у кристаллических металлов и экспоненциально возрастать с уменьшением температуры. При комнатной температуре расчеты дают значение проводимости $\frac{2}{10^6}$ (ом см)-1. Однако реально достигаемая величина проводимости отличается на 1-5 порядков ($10^1 - 3 \cdot 10^5$) (Ом см)-1 температурная зависимость проводимости не следует предсказанному теоретически выражению для квазиодномерного металла и имеет температурный ход с максимумом. Наблюдаемая зависимость обьясняется в настоящее время туннелированием между металлическими островами благодаря флуктуациям напряжения на таком туннельном переходе. Общий вид температурной зависимости описывает наблюдаемый максимум:

$$\sigma(T)^{-1} = \rho(T) = f\rho_m \exp(\frac{-h\omega_D}{T}) + f_2 p_t \exp(\frac{T_1}{T + T_0})^{\gamma}$$

где γ=(1/2-1), T₁ и T₀ — параметры, связанные с высотой туннельных барьеров и величиной флуктуаций.

Полинитрид серы



Единственным полимерным материалом, в котором ноблюдается металлическая проводимость (причем без легирования), является полинитрид серы (SN)n. Структура (SN)n показана на рис., атомы серы и азота образуют цепочки, лежащие практически в одной плоскости . Расстояние между атомами серы в соседних цепочках – 3,4 А, это достаточно малая величина обеспечивает сильное взаимодействие между цепями и отражается на зонной структуре полимера (подавляет появление Пайрлсовской запрещенной зоны). Таким образом, качественные кристаллы (SN)n можно считать анизотропным трехмерным металлом.

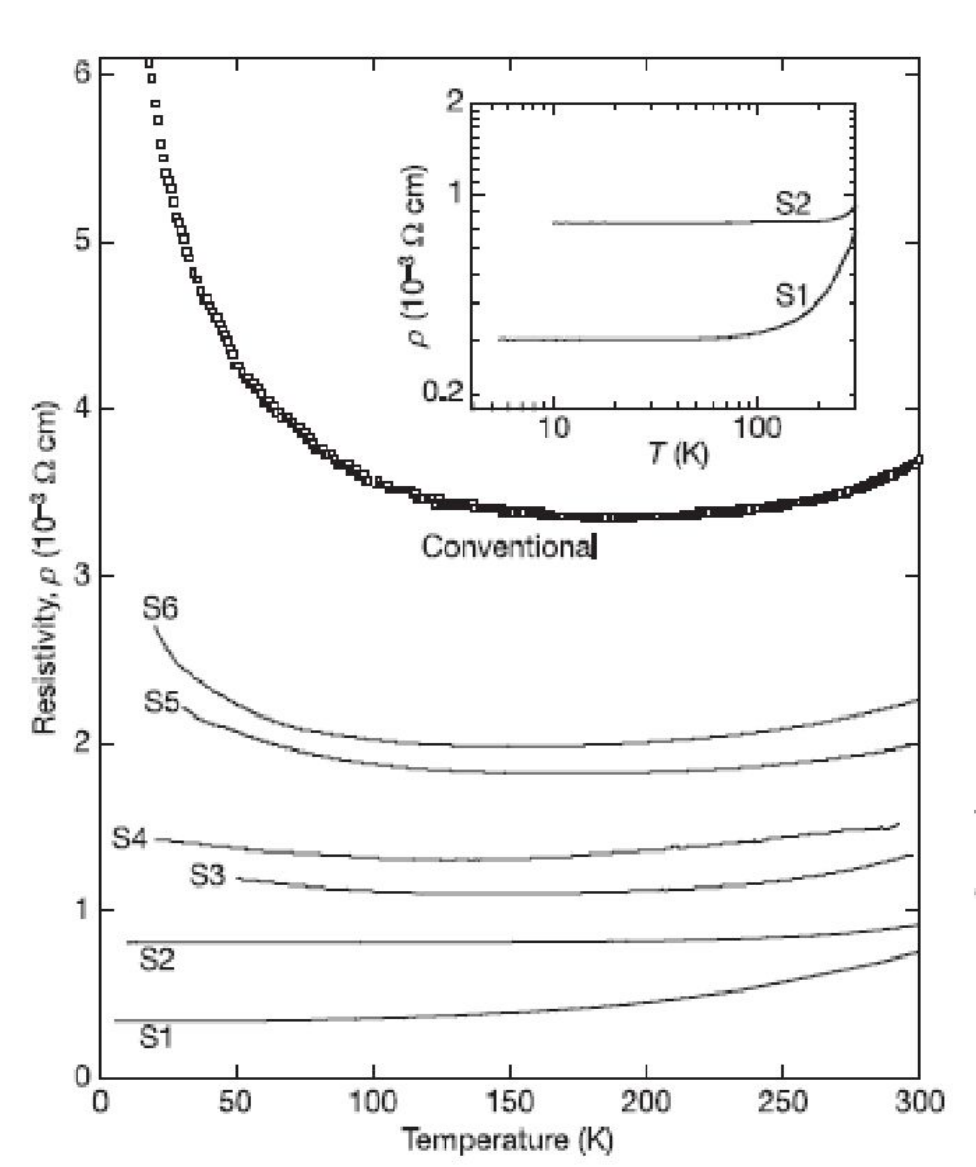
Проводимость качественных кристаллов (SN)n при комнатной температуре достигает 4000 (Ом см)-1. С понижением температуры проводимость непрерывно возрастает вплоть до перехода в сверхпроводящее состояние при 0.26 К. Анизотропия проводимости при комнатной температуре составляет около 50. В низкотемпературной области она возрастает до 10³-10⁴.

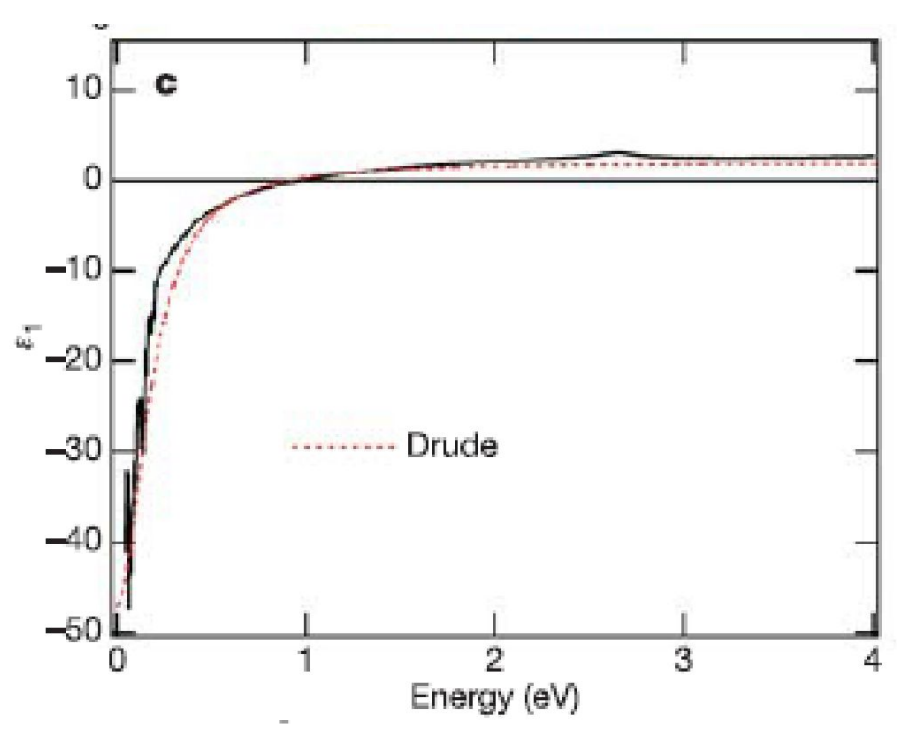
Полианилин

•Рис. 4.16. Процесс легирования полианилина (PANI) при помещениии его в кислоту.

Проводимость в полианилине (форма ПАНИ) изменяется на 11 порядков при помещении его в кислоту (например, HCI). При этом, в качестве легирующей примеси выступают ионы Н+ (протонирование). Механизм такого легирования еще не до конца понятен, поскольку знак термоэдс указывает на электронный характер проводимости, хотя в процессе протонирования добавляются дырки. Предполагается, ч протонирование вызывает вращение бензольных колец относительно друг друга и плоскости цепи, что приводит к увеличению интеграла перекрытия. Важным свойством полианилина, которое объясняет его широкое техническое применение, является его растворимость (другие полимеры часто оказываются нерастворимы). Это свойство ПАНИ применяется в органической литографии. Смесь соль ПАНИ облучается ультрафиолетом. При этом соль разлагается на кислоту и основание, кислота легирует полимер он становится нерастворимым. Можно таким образом получить проводящие 0.000 CVM 0.33 MeVM 0.25 MVM

Электропроводность ПАНИ.





The $\varepsilon_1(\omega)$ spectrum is also consistent with the Drude model and true metallic behaviour. The fit to $\varepsilon_1(\omega)$ of the Drude model, $\varepsilon_{1D}(\omega) = \varepsilon_{\infty} - [\omega_p^2 \tau^2 (1 + \omega^2 \tau^2)^{-1}]$, with the same values of ω_p $\omega_p = 10,500 \, \text{cm}^{-1} \, (\sim 1.3 \, \text{eV})$ and relaxation time $\tau = 2.2 \times 10^{-14} \, \text{s}$

e 2 | Temperature dependence of resistivity, $\rho(T)$. Data from a antional PANI-CSA film are shown for comparison. The SSDP